



Le NGS déjà un outil en maladie infectieuse complexe !

Dr. Laure Surgers

GHU APHP, Sorbonne Université, SMIT, Hôpital Saint-Antoine, Paris
Sorbonne Université, INSERM, Institut Pierre Louis d'Épidémiologie et de Santé

NGS en maladies infectieuses... déjà un outil

- Epidémiologie
- Infections difficiles à diagnostiquer
- Pathogène non évoqué / non connu / non cultivable

Aujourd’hui : pour diagnostic difficile

Mr B, 66 ans, pas d’antécédent médical notable

- J0: Syndrome pseudo-grippal

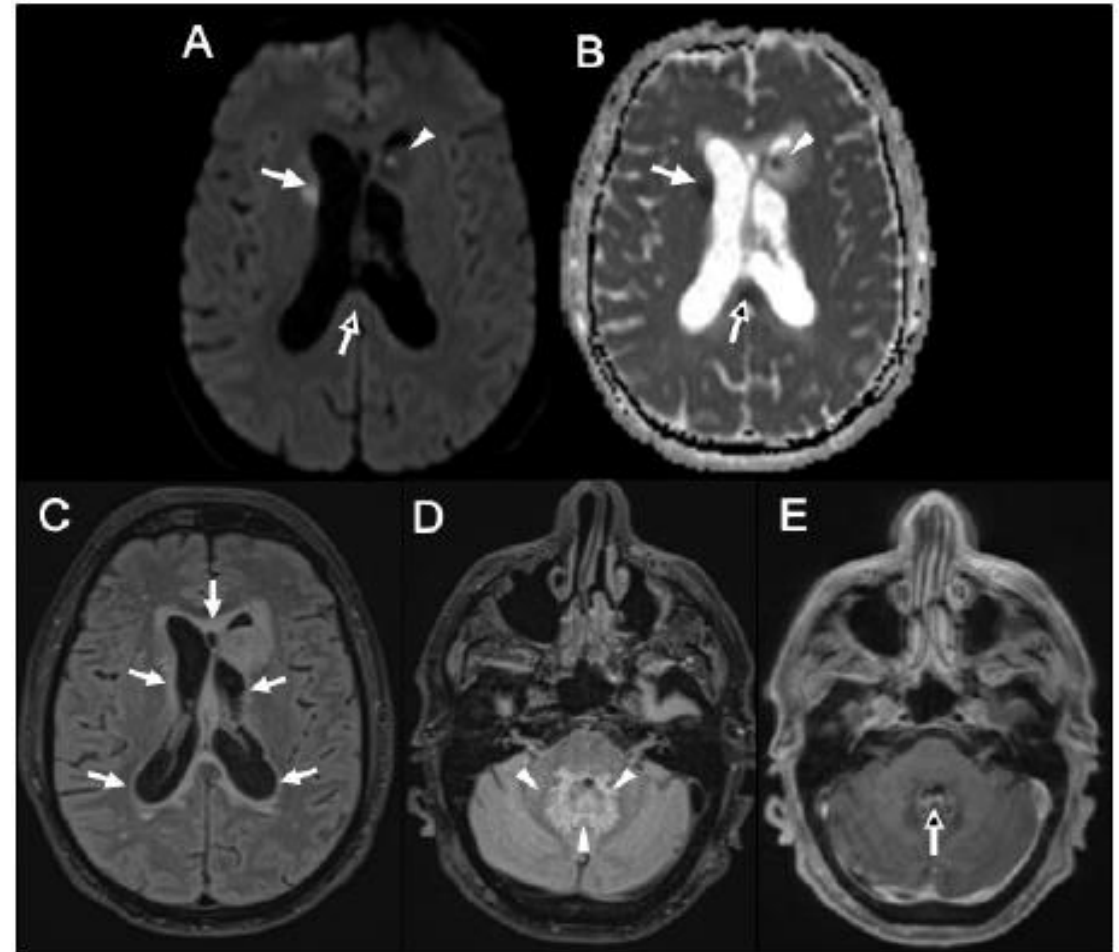
Traitements par Augmentin pendant 10j

- J10 : Fièvre et confusion => SAU
 - LCR : 750 elt/mm³, (76%PNN, hyperproteino, hypoglyco)
 - PCR multiplex neg, Culture neg, 16S neg
 - HIV -
 - Auto-Ac -

IRM : abcès de 10mm
noyau caudé gauche

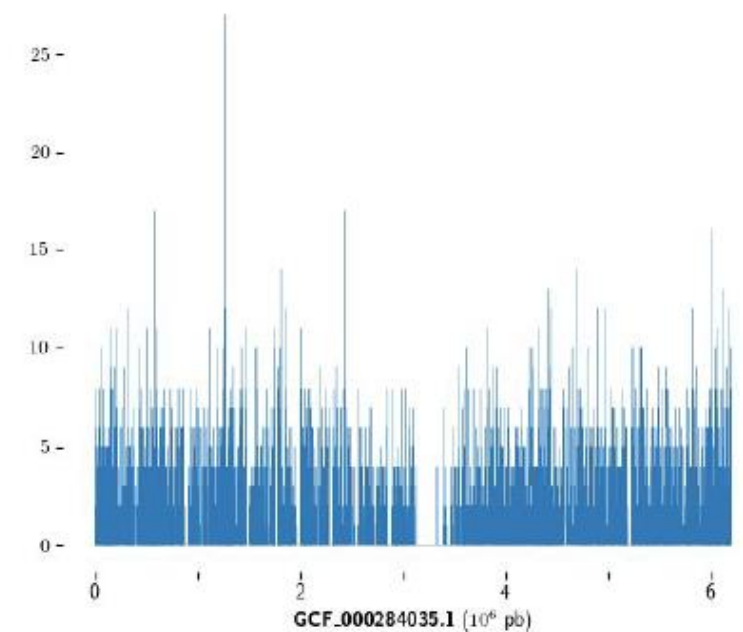
J20 : Nouveau LCR
1130 elt/mm³ (82%PNN)
Culture, PCR, 16S négatifs

=> Envoi NGS



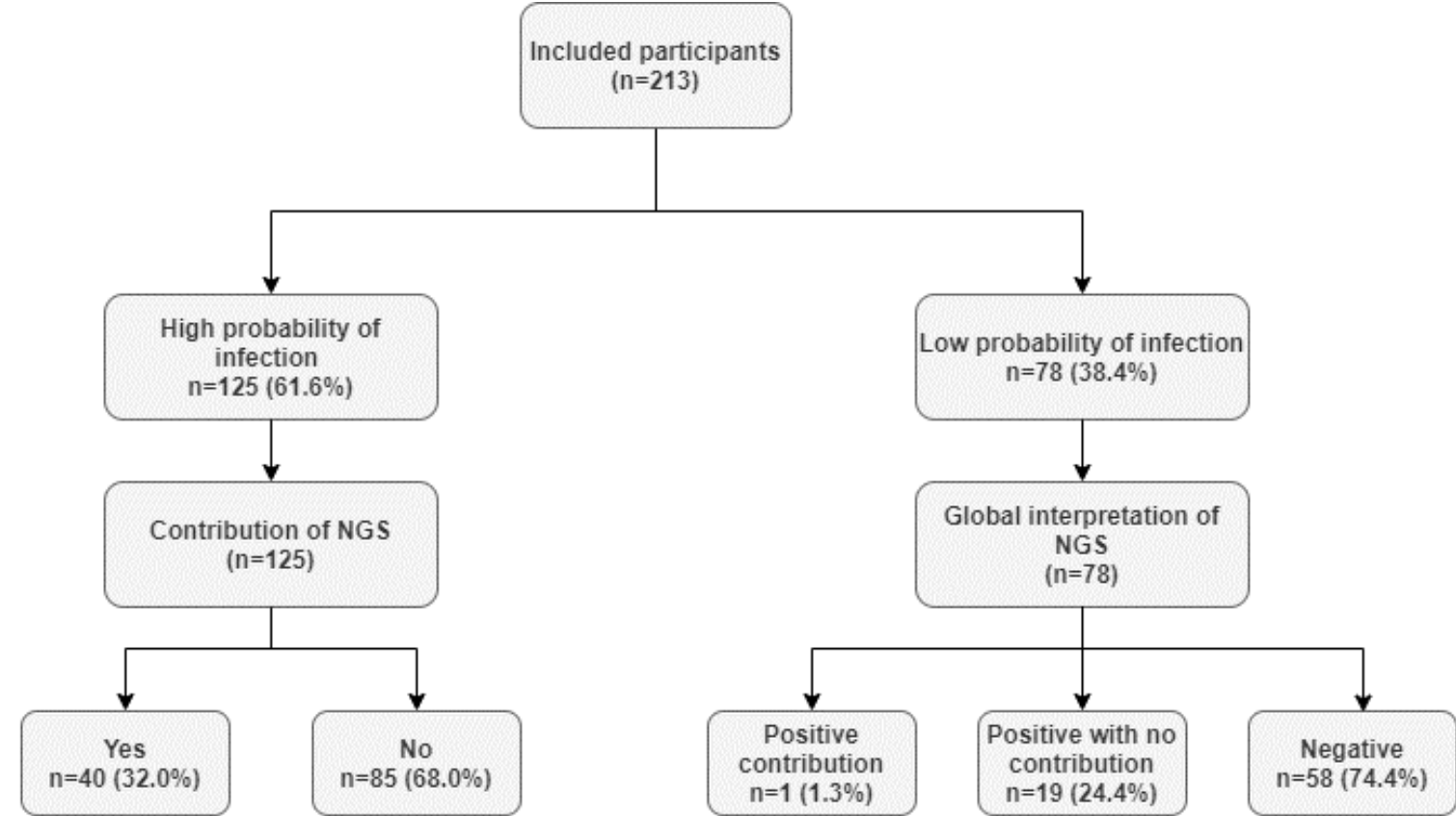
- J30 : MetaMIC : *Nocardia cyriageorgica* (confirmation par CNR Nocardia). Traitement par Imipenem/Bactrim
- Recherche d'un déficit immunitaire acquis
Présence d'anti GM-CSF traité par rituximab
- 2019 : arrêt de toutes les thérapies
Patient considéré en rémission complète

Nocardia Cyrigeorgica genome coverage

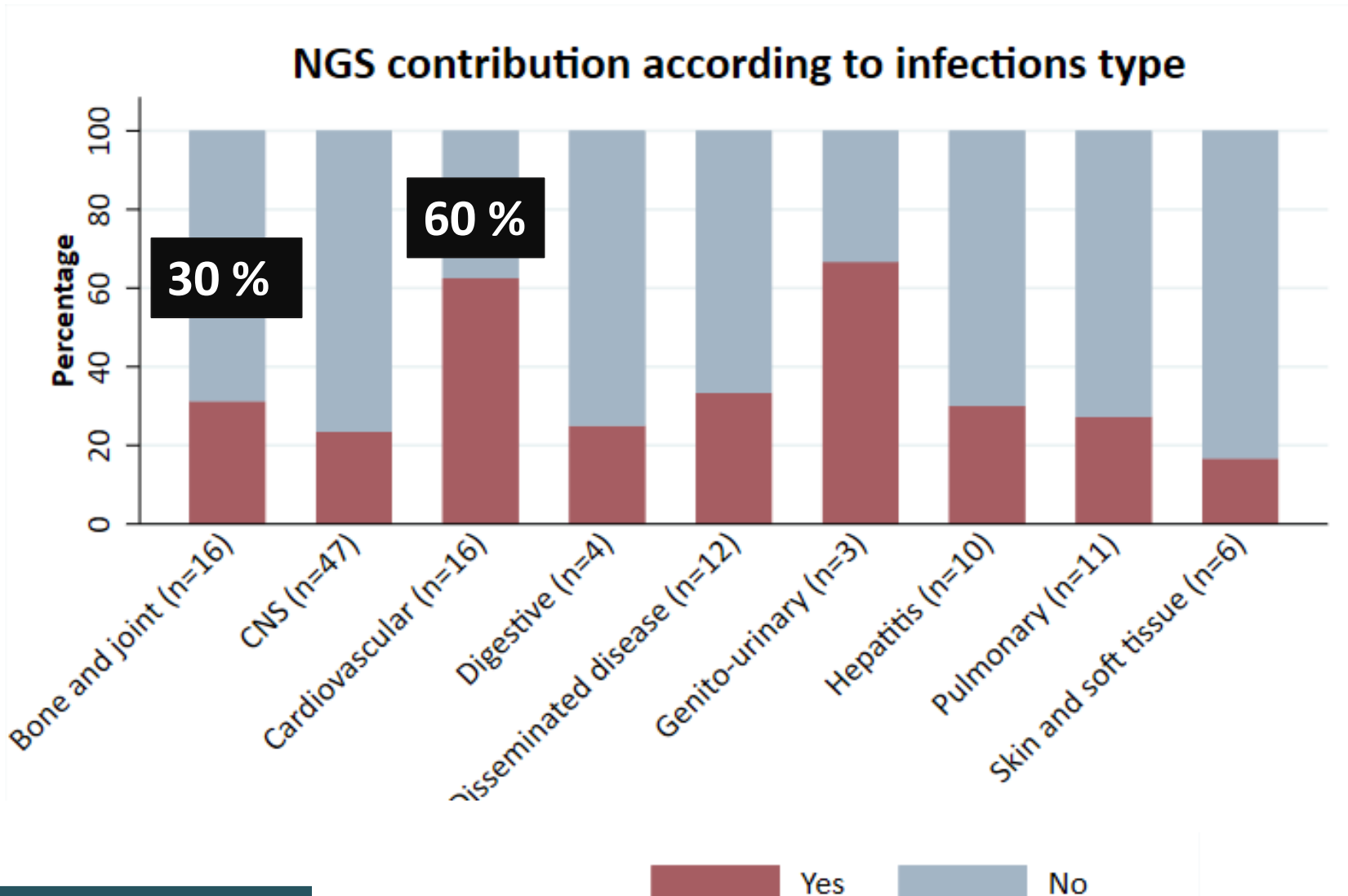


Aujourd’hui : pour diagnostic difficile

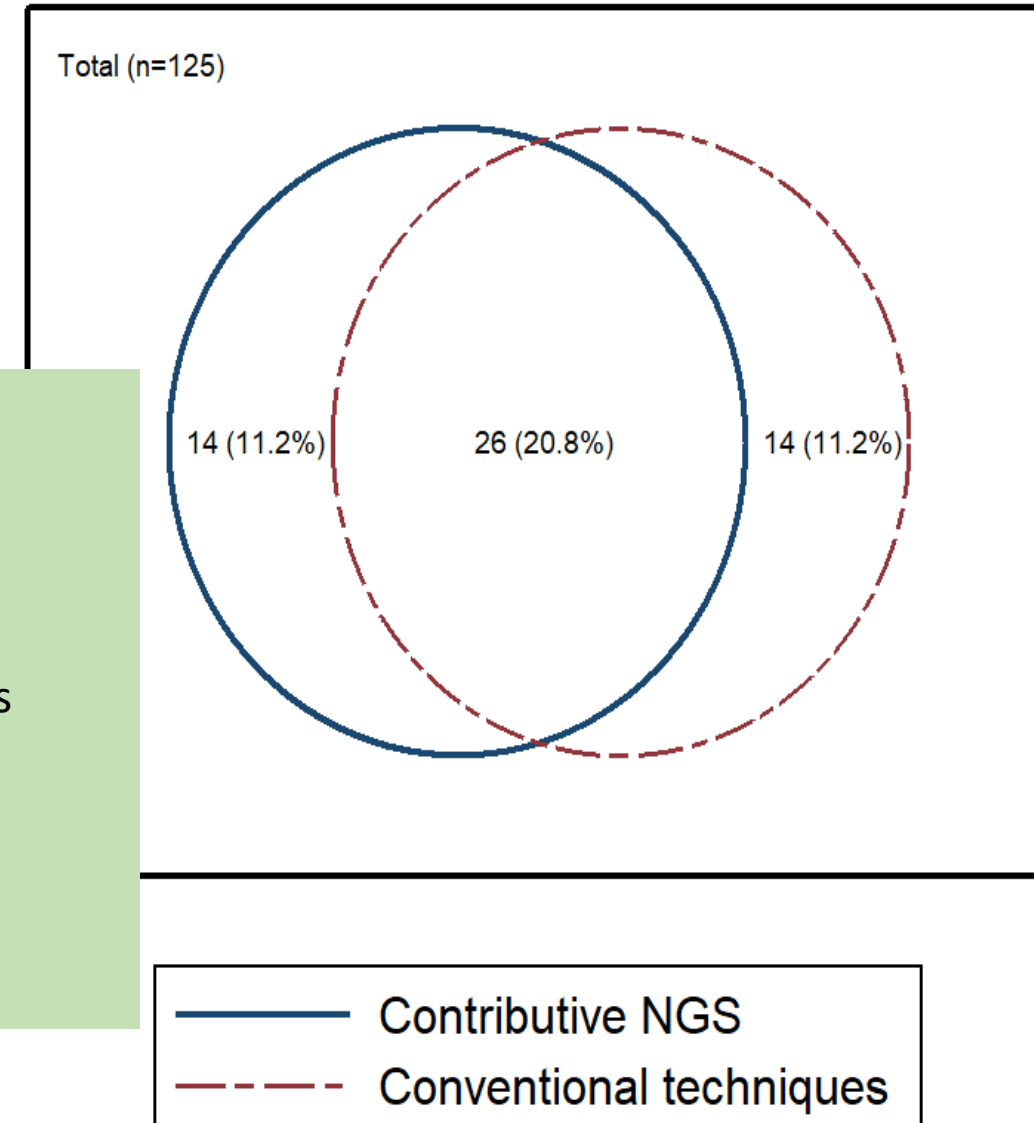
Prospectif
Multicentrique
Tout prélèvement 2018-2020
213 patients



Infections variées



Abcès hépatique à Kp, anaérobies
Encéphalite à Orthobunyavirus,
Moraxella, Avulavirus
Faux positif séro VIH
Syphilis
Méningite à erysipelothrix, Bacillus
Nocardiose pulmonaire
Ostéite à saccharomyces
PI CMV
Abcès rein polymicrobien
BK



26 individuals are in the intersection of the two sets

7 autres prélèvements
2 BK
5 sérologies

Mais déjà des données en première ligne

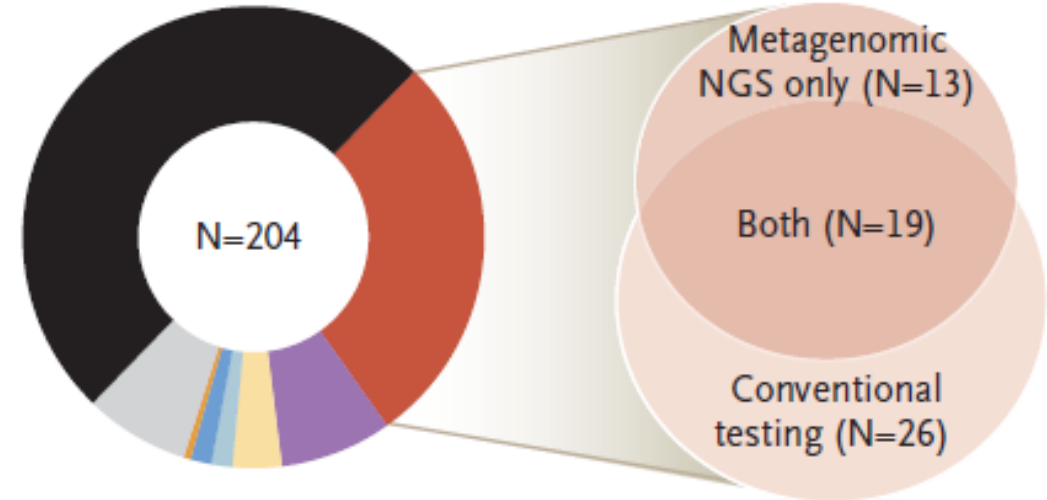
ORIGINAL ARTICLE

Clinical Metagenomic Sequencing for Diagnosis of Meningitis and Encephalitis

Prospectif
Multicentrique
Méningites/Encéphalites
204 patients

Etiologie retrouvée ½
Infectieux 1/4

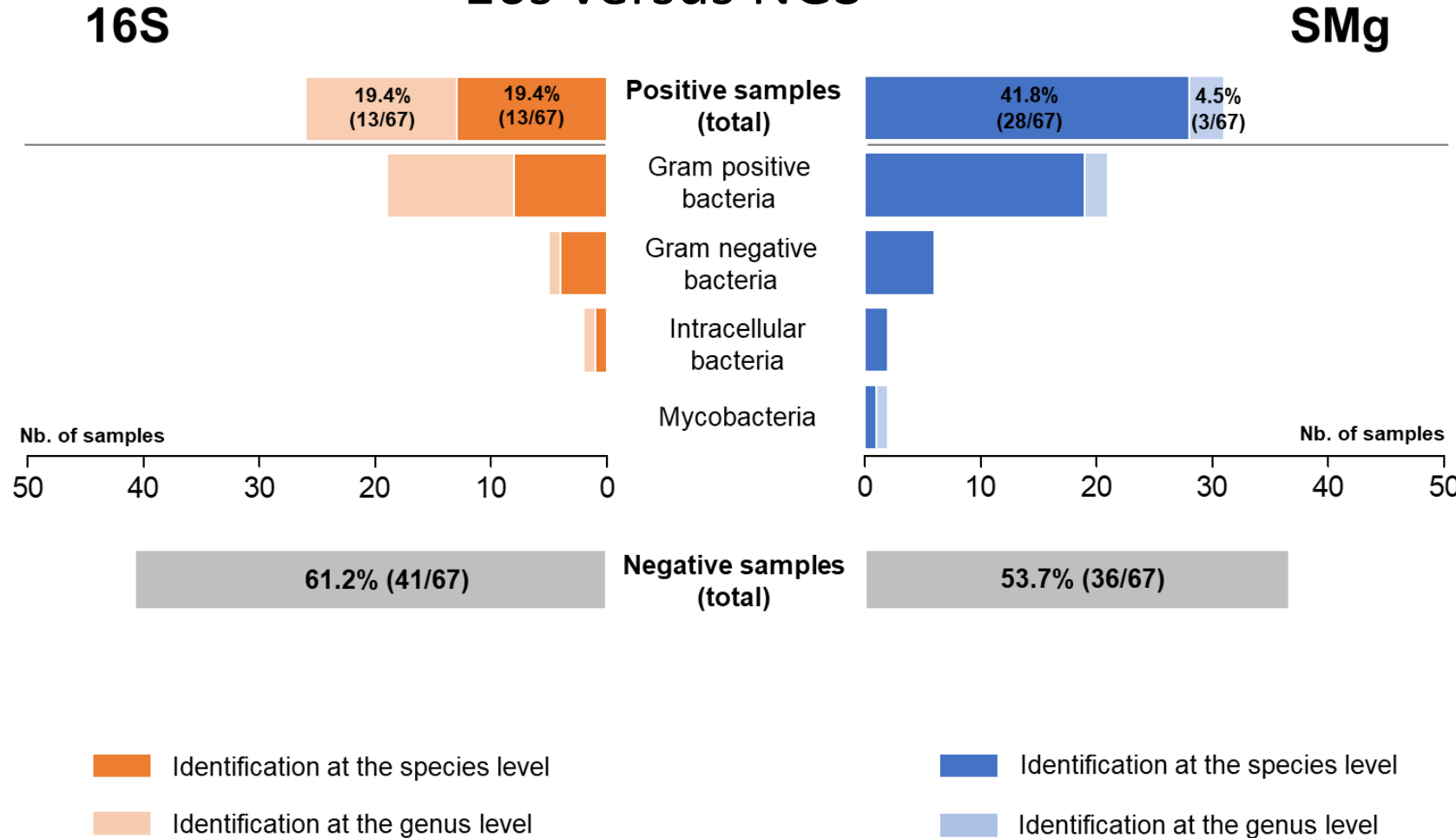
A Established Diagnoses in the Study Patients



57 (27.9%)	Infectious
17 (8.3%)	Autoimmune
7 (3.4%)	Neoplastic
3 (1.5%)	Postinfectious
3 (1.5%)	Toxic metabolic
1 (0.5%)	Vascular
15 (7.4%)	Other
101 (49.5%)	Unknown

Dans l'infection ostéoarticulaire

16s versus NGS



Etude prospective (N=67)

Polymicrobien
BK
+ 10 % de diagnostic
à l'espèce

NGS en maladies infectieuses... et la suite ?

- Epidémiologie
- Infections difficiles à diagnostiquer
- Pathogène non évoqué / non connu / non cultivable

- Résistance aux antimicrobiens

Table 1. Summary of Antimicrobial Susceptibility Data for Various Strain/Antibiotic Combinations

Species	Antibiotic			
	Ceftazidime	Cefepime	Piperacillin-Tazobactam	Meropenem
<i>Escherichia coli</i> (n = 31)				
Resistant ^a , No. (%)	20 (64.5)	18 (58.1)	8 (25.8)	1 (3.2)
MIC range, mg/L	<0.25 to >256	<0.5 to >256	2 to >256	<0.06 to >64
<i>Klebsiella pneumoniae</i> (n = 24)				
Resistant ^a , No. (%)	16 (66.7)	14 (58.3)	10 (41.7)	6 (25.0)
MIC range, mg/L	<0.5 to >256	<0.25 to >256	2 to >256	<0.06 to >64
<i>Pseudomonas aeruginosa</i> (n = 22)				
Resistant ^a , No. (%)	6 (27.3)	10 (45.5)	9 (40.9)	14 (63.6)
MIC range, mg/L	1 to >256	2 to >256	2 to >256	0.12 to >64
<i>Enterobacter cloacae</i> (n = 13)				
Resistant ^a , No. (%)	7 (53.8)	3 (23.1)	7 (53.8)	0 (0.0)
MIC range, mg/L	<0.5 to >256	<0.5 to 32	0.75 to >256	0.25 to 1

Whole-Genome Sequencing Accurately Identifies Resistance to Extended-Spectrum β-Lactams for Major Gram-Negative Bacterial Pathogens

Samuel A. Shelburne,^{1,2,3} Jiwon Kim,^{4,5} Jose M. Munita,^{3,6,7} Pranoti Sahasrabhojane,¹ Ryan K. Shields,⁸ Ellen G. Press,⁸ Xiqi Li,⁹ Cesar A. Arias,^{3,6,10,11} Brandi Cantarel,⁴ Ying Jiang,¹ Min S. Kim,^{4,5} Samuel L. Aitken,^{3,12} and David E. Greenberg^{3,13,14}

90 souches
Gold standard microdilution

Table 3. Diagnostic Performance of Whole-Genome Sequencing Versus Clinical Microbiology Data Using Broth Microdilution as the Gold Standard

Diagnostic Performance	WGS	Clinical Microbiology	P Value
Sensitivity (95% CI)	0.87 (.81–.92)	0.82 (.76–.88)	.36 ^a
Specificity (95% CI)	0.98 (.96–.999)	0.95 (.92–.98)	.07 ^a
Positive predictive value (95% CI)	0.97 (.94–.999)	0.92 (.88–.97)	.025 ^b
Negative predictive value (95% CI)	0.91 (.88–.95)	0.88 (.84–.92)	.24 ^b

Original article

From genotype to antibiotic susceptibility phenotype in the order Enterobacterales: a clinical perspective

E. Ruppé ^{1,*†}, A. Cherkaoui ², Y. Charretier ¹, M. Girard ¹, S. Schicklin ³, V. Lazarevic ¹,
J. Schrenzel ^{1,2}

⇒ 1496 isolate/antibiotic combinations (187 isolates × 8 antibiotics)

⇒ 96.4 % were correctly predicted, 1.9 % were major errors (MEs) and 1.7 % were very major errors (VMEs)

⇒ The majority of VMEs were putatively due to the overexpression of chromosomal genes

The NEW ENGLAND JOURNAL of MEDICINE

ESTABLISHED IN 1812

OCTOBER 11, 2018

VOL. 379 NO. 15

Prediction of Susceptibility to First-Line Tuberculosis Drugs by DNA Sequencing

The CRyPTIC Consortium and the 100,000 Genomes Project

10 200 souches

Sensibilité spécificité > 90 %

CONCLUSIONS

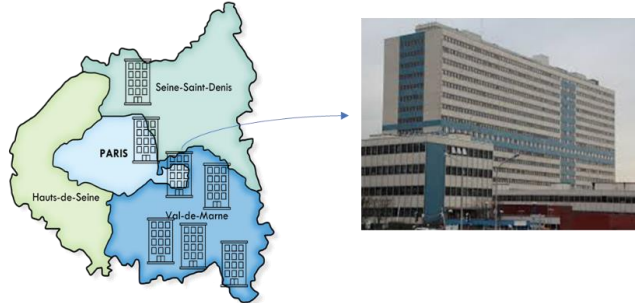
Genotypic predictions of the susceptibility of *M. tuberculosis* to first-line drugs were found to be correlated with phenotypic susceptibility to these drugs. (Funded by the Bill and Melinda Gates Foundation and others.)

NGS en maladies infectieuses... et la suite ?

- Epidémiologie
- Infections difficiles à diagnostiquer
- Pathogène non évoqué / non connu / non cultivable

- Résistance aux antimicrobiens
- Intégration des données de l'hôte

COMETS



AGENCE NATIONALE DE LA RECHERCHE
ANR

7 Hospitals in the east of Paris
Intensive Care, Hospitalized and Out Patients

Lead : Henri Mondor Hospital (Créteil, France)
Principal Investigator : Dr C. Rodriguez

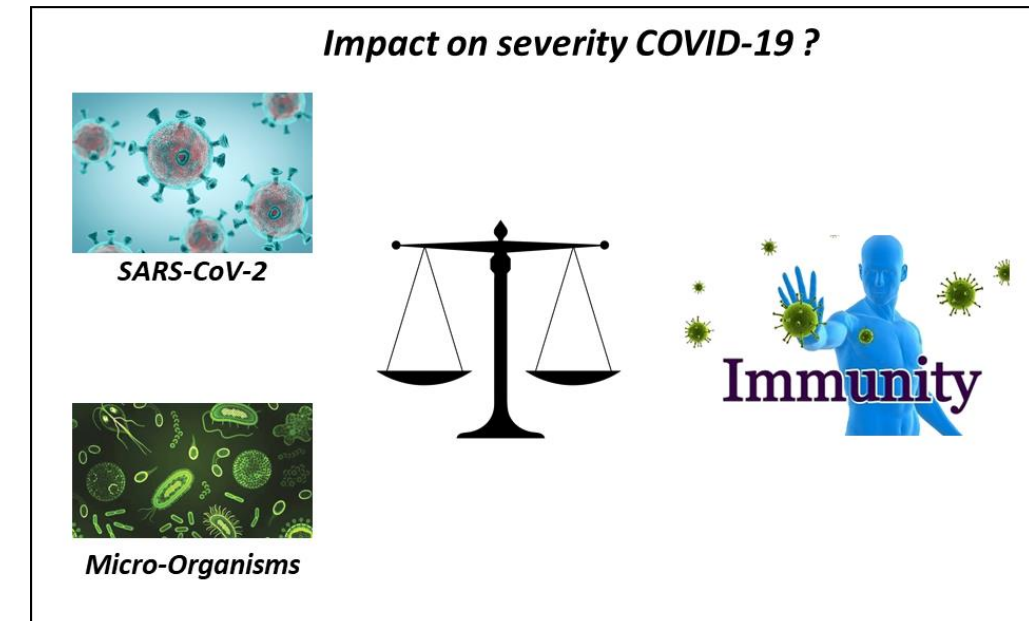
Métagénomique JO

WWW.JIB-INNOVATION.COM

RESEARCH ARTICLE

Viral genomic, metagenomic and human transcriptomic characterization and prediction of the clinical forms of COVID-19

Christophe Rodriguez^{1,2*}, Nicolas de Prost^{3,4}, Slim Fourati^{1,2}, Claudie Lamoureaux¹, Guillaume Gricourt^{1,2}, Melissa N'debi^{1,2}, Florence Canoui-Poitrine^{5,6}, Isaac Désveaux¹, Oriane Picard¹, Vanessa Demontant¹, Elisabeth Trawinski¹, Raphaël Lepeule¹, Laure Surgers¹, William Vindrios⁷, Jean-Daniel Lelièvre^{1,7}, Nicolas Mongardon⁸, Olivier Langeron⁸, José L. Cohen^{9,10}, Armand Mekontso-Dessap¹⁰, Paul-Louis Woerther^{1,11}, Jean-Michel Pawlotsky^{1,2}



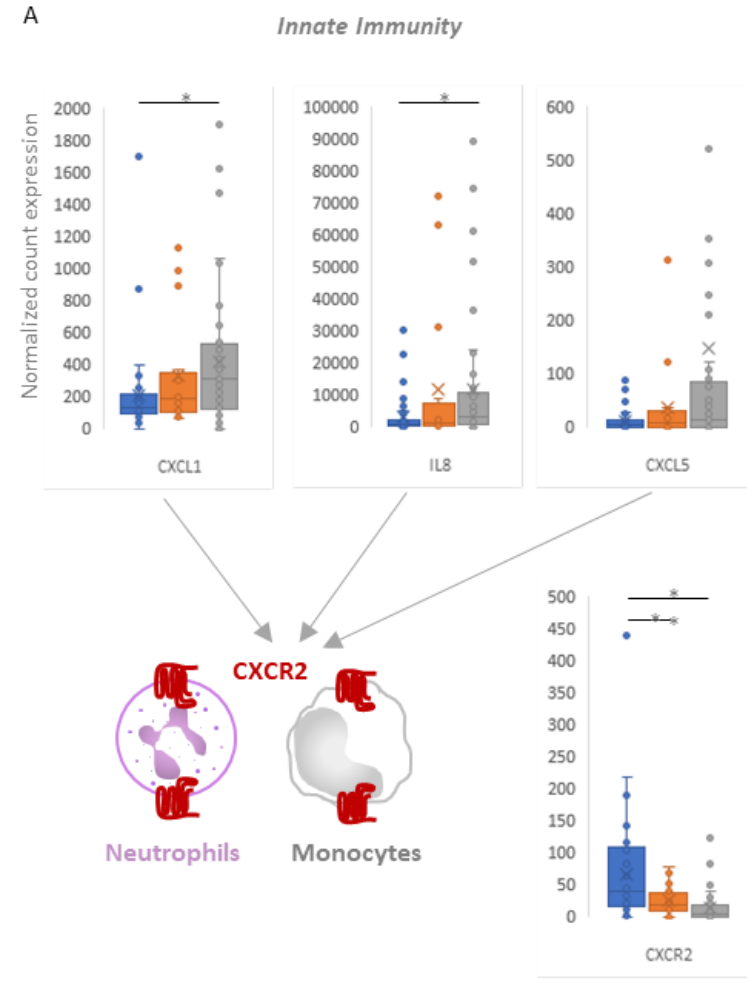
#JIBinnov21

COMETS

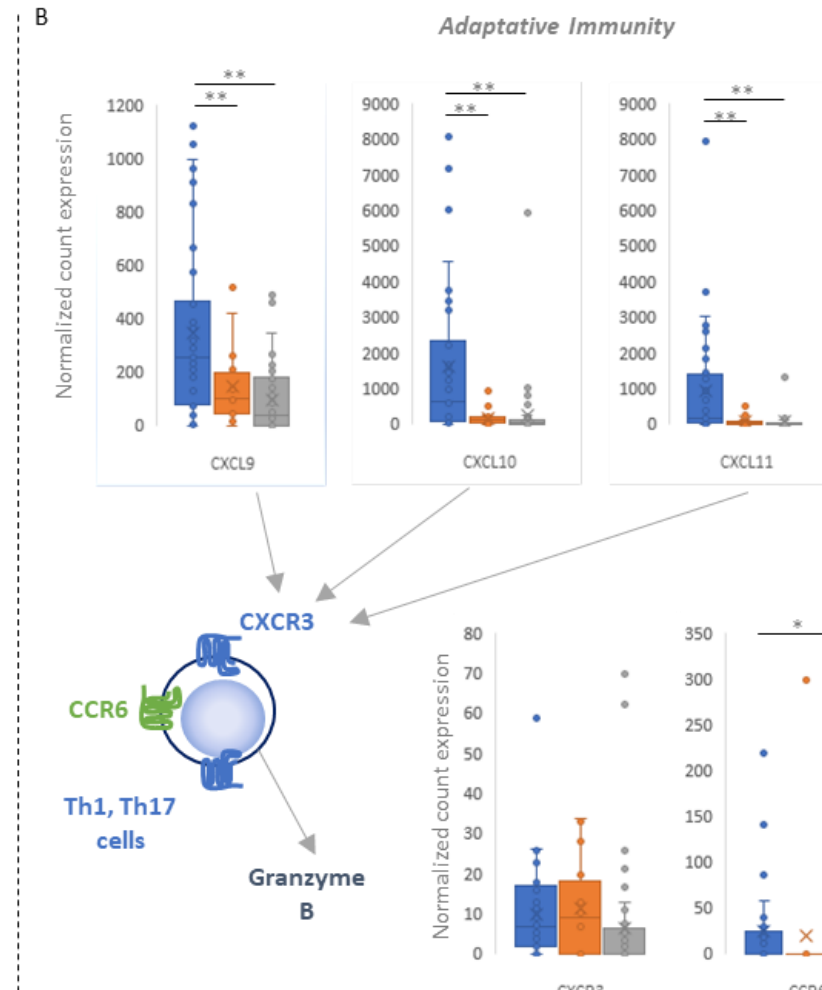
<i>Patient characteristics</i>	<i>Outpatients (N=42)</i>	<i>Hospitalized patients (N=17)</i>	<i>ICU patients (N=45)</i>
Demographic parameters			
Age, median [range], year (N=104)	50 [19-86]	50 [42-86]	65 [33-90]
Female- n/N (%) (N=104)	30/42 (71.4)	7/17 (41.2)	9/45 (20.0)
Risk factors			
Current smokers- n/N (%) (N=88) □	4/34 (11.8)	0/10 (0)	3/44 (6.8)
BMI, median [range] (N = 84) □	25.6 [16.9-34.0]	26.5 [19.8-39.0]	28.0 [20.9-43.3]
Obesese patients: BMI ≥30- n/N (%) *	7/34 (20.6)	3/10 (30.0)	12/40 (30.0)
Chronic underlying conditions, n/N no (%) □			
<i>Chronic obstructive pulmonary disease (N= 88)</i>	2/34 (5.8)	1/10 (10.0)	2/44 (4.5)
<i>Asthma (N=88)</i>	7/34 (20.6)	2/10 (20.0)	1/44 (2.3)
<i>Diabetes (N=88)</i>	1/34 (2.9)	2/10 (20.0)	14/44 (31.8)
<i>Hypertension (N=88)</i>	7/34 (20.6)	6/10 (60.0)	24/44 (54.6)
<i>Cardiac disease (N=88)</i>	2/34 (5.9)	2/10 (20.0)	10/44 (22.7)
<i>Chronic renal disease (N=88)</i>	1/34 (2.9)	0/10 (0)	3/44 (6.8)
<i>Cancer (N=88)</i>	2/34 (5.9)	0/10 (0)	1/44 (2.3)
<i>Immunodeficiency (n = 88)</i>	0/34 (0)	2/10 (20.0)	4/44 (9.1)
Treatments n/N (%) □			
<i>Antibiotics (N=89)</i>	11/34 (32.4)	6/11 (54.6)	38/44 (86.4)
<i>Corticosteroids (N=89)</i>	1/34 (2.9)	2/11 (18.2)	1/44 (2.3)
<i>NSAIDs (N=89)</i>	9/34 (26.5)	1/11 (9.1)	5/44 (11.4)
<i>Others immunosuppressive drugs (N=89)</i>	0/34 (0)	2/11 (18.2)	4/44 (9.1)
COVID-19 Disease			
Median interval from symptoms to NSP, days (N=86)□	4	7	6
Neutrophil count, median [range], G/L	/	4.9 [2.4-11.0]	5.6 [2.3-16.4]
Lymphocyte count, median [range], G/L	/	1.1 [0.6-3.2]	0.7 [0.2-1.6]
Ventilation, n/N (%)			
<i>Oxygen (N=104)</i>	0/42 (0)	8/12 (66.7)	45/45 (100)
<i>Non-invasive ventilation (N=104)</i>	/	/	21/45 (46.7)
<i>Mechanical ventilation (N=104)</i>	/	/	19/45 (42.3)
SOFA score, n/N (%)□			
<i><6 (n = 43)</i>	/	/	20/43 (46.5)
<i>≥6 (n = 43)</i>	/	/	23/43 (53.5)
Death – n/N (%) (N=104) □	0/42 (0)	1/17 (5.9)	17/45 (37.8)

COMETS

A

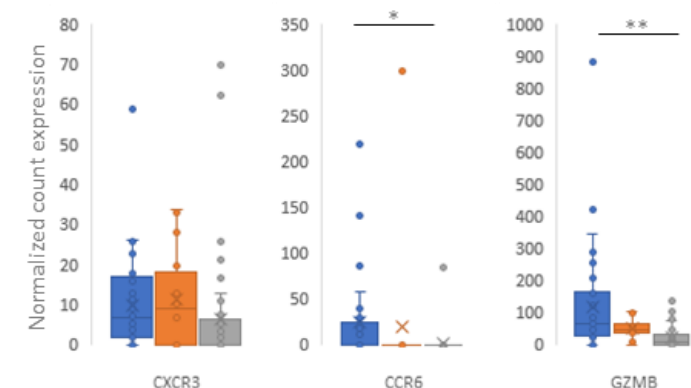


B



Outpatient : significant increase in the expression of CXCR3 pathway activator genes, including CXCL9, CXCL10, CXCL11 and Granzyme B
 => classical Th1-Th17 T-lymphocyte

ICU : overexpression of cytokine transcripts activating the CXCR2 pathway, including CXCL1, IL-8 and CXCL5 => réponse T inadaptée



NGS en maladies infectieuses... et la suite ?

- Epidémiologie
- Infections difficiles à diagnostiquer
- Pathogène non évoqué / non connu / non cultivable

- Résistance aux antimicrobiens
- Intégration des données de l'hôte
 - Risque de forme grave (cf COMET) => intensification traitement ?
 - Profil bactérien / viral => épargne antibiotique
 - Profil évolutif ? => réduction durée traitement

Etudes cliniques pour positionnement en première ligne dans les grands syndromes cliniques +++

Merci pour votre attention